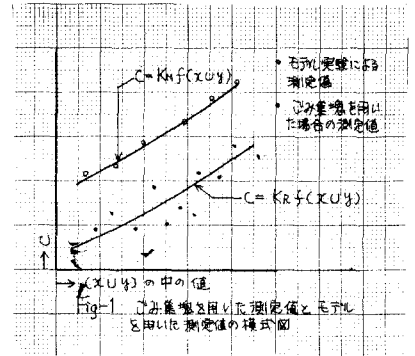


の関係がある場合は、モデルを用いて実験を行ったりして $c = K_M f(x, y, z)$ を求めることができ、 $f(x, y, z)$ の関数形を求めることが容易になる。 K_R はごみ集場中の各物体 K について定めらる $g(z)$ の平均値と看做してよいものであり、ごみ集場中の z_i とモデルの z_i とは異なることから K_R と K_M は一般に異なる。図-1 を用いて説明すると、 K_M は $g(z)$ を平均化したものであるから、 (x, y, z) 中のいくつかの変数を変化させて、 c の値を求めると、図中の黒点を $c = K_R f(x, y, z)$ とはかたがた異なる値をとって分散し、しかるが $f(x, y, z)$ の形を定めることが困難なことがある。しかるがモデル実験においては、より属する要素を満足する c が出来る c の測定値は、 $c = K_M f(x, y, z)$ に極めて近く分布すると推察され、 $f(x, y, z)$ の形を決定するに容易である。このモデル実験は化学工学等で行われるモデル実験と異なる意義をもつ。すなわち、他の場合は $g(z)$ の関数形の決定に重要なことであり、 z_i 等の変化を研究して、実用に供しようとする目的を持つ研究が多いに反し、ごみの場合は $f(x, y, z)$ の関数形の決定に有効でないことであり、 K_R の決定はあくまでごみ集場を用いて行われるべきである。



ごみの場合のモデル実験は $f(x, y, z)$ の決定を容易にするばかりではなく、通常、実際のごみ集場を用いた実験においては z_i を任意にかつ大なる範囲に変化させることは困難であるに反し、モデル実験においてはそれが容易であるという利点がある。

実際の焼却炉等の設計にあたっては、 $g(z)$ は当然のことく一定値として取り扱われ、前述したごみ集場の同一性を K として、それはよいのであるが、このように述べたような理由から実際の z_i を用いて $f(x, y, z)$ を決定するときは、非常に労力を伴うため、 z_i は $y_j \in y$ の値を委ねることは、炉型・ストーカ形式で変えなければならぬ場合もあり、 $f(x, y, z)$ について充分研究されてないため、 $g(z)$ を一定値とみなすためのトラブルは、ほかに多いものがある。また、 $f(x, y, z)$ の関数形が未知のため、実際の炉のトラブルは枚挙のいとほしい。例として焼却炉の設計の場合について述べると、通常ある範囲の $x_i \in x$ と $y_j \in y$ (炉型・ストーカ形式の変更は困難な形式によることが多い) について経験的に、たとえば焼却率を知って炉床面積等の炉のデザインを決定して設計するが、未経験範囲で x_i, y_j が変化した場合、すなわち水分の過少、過大、または炉形式等の変更の場合、燃焼量不足、重油消費量の予想以上の過大、または過剰燃焼によるストーカ・炉のあるいはその付属設備損傷などのトラブルは大小の異なる焼却炉で起こることもよくあることである。

2. 火移り速度

ごみが炉内に侵入すると、工面が着火し、着火面が下へ進行し始める。その速度を火移り速度と呼ぶ。着火した面は可燃物は分解して一部はごみ層工面の空間で燃焼するが、一部は固体相として残り固体燃焼相を形成する。固体燃焼層内のガス化速度を求め、固体燃焼層の (重量)/(体積) とその中の炭素分比を用いて、燃焼終了線の進行速度を換算出来る。これを $(L_B - L_G)$ (図-2)

を求めると燃焼層の厚さが求まる。この燃焼層の厚さは炉内温度の関数である。すなわち、 $(L_p - L_q)$ の大きさがよって、適当な通風速度が得られる。すなわち通風速度が過少の場合は、黒煙が発生し、過大になると煙が消える。これは U_p と U_q によって、単位面積の火床で燃焼させるべき量がある範囲があることを意味し、それによって炉床面積の過小・過大は必ずしもトラブルの原因となる。炉床面積の過小によって予想されるトラブルは、冷却量不足、灰中未燃分の過大、また炉床の過大によるトラブルは、黒煙の発生、炉床に余剰を生ずることによる炉内温度の低下である。炉床が炉室向ふ放射を強く受けることは炉床の熱損傷等である。これから炉の冷却率に

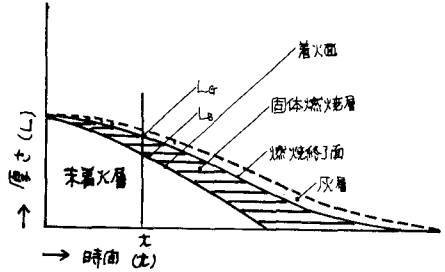


Fig-2 ごみ燃焼の様型

関係する因子の中、火移り速度に關する $f(x, y)$ を紙片を用いて行おうと報告する。

3. 紙片の火移り速度

実験の方法とその結果：(水分の影響) $\times 0.1\text{mm}$ 径のアルメルクロメル熱電対を埋込して紙片を作成し、垂直に保持した。アルメルクロメル線は、増幅器を通してオシログラフに接続し、着火線の進行に伴って紙片内の温度変化を記録した。紙片は 4cm の直方形に整形し 1cm 間隔の寸法線を引き、着火線の進行を $1/6\text{sec}$ 毎に写真と撮影した。着火と同時に試料紙片から切断した紙片の重量を測り、完全に乾燥させて、試料紙片の水分を測定した。火移り速度は着火線移動距離と時間を写真を使用して求めた。金原²⁾が報告しているように、紙片の厚さで火移り速度の絶対値は変わらない、水分5%の場合の火移り速度を1として、水分の変化に伴って火移り速度の変化の比を示すと、図-3のようになる、 (x, y) の中の水分の変化に對する $f(x, y)$ の変化は同一の関数の形をとると考えた。参考として、³⁾の目的の研究から $W. L. Flow$ 他、³⁾は $H. E. Anderson$ 等が、木片の火移り速度について研究しているが、その結果を本報のように換算して同図に記入すると、(図-3の \circ の x) 水分の火移り速度に与える影響は同一であることがわかり、これはセルロース性物質に共通した性質であることがわかった。

この高月²⁾が、紙片の小球を用いた筒内で燃焼させ火移り速度を求めたが、その結果を同様の換算を行って同図に記入すると(図-3の \square) 同一の線になり、連続燃焼物のモデルとして連続物質を使用して関数形を定めることが出来ることを意味している。本実験で求めた紙片内の温度分布の例を図-4に示す。図の原尺は着火線が熱電対先端を通過したとき、オシログラフの電流を流して記録した。

(通風速度の影響) 煙卓 "n" の中の通風速度を変化させて火移り速度の影響を求めた。実験方法については省略し、結果のみを図-5に示す。

(着火温度等) 燃焼進行中に与える紙片中の水分の蒸発温度、可燃分の分解の起る温度、紙片の着火温度を求めた。紙片の細粉を作り、示差熱天秤で測定した結果を図-6に示す。

3. 結語

このセルロース物質の燃焼について、モデル実験が可能であることを述べたが、実際の

み集塊の火移り速度に対する水分の影響を図-3に示す。以上述べた因子のほか、2, 3の因子が影響を有することは実際炉で確かめられている。送入空気の温度の影響については、乾燥速度を求めれば、そのことより計算が可能である。この2つをモデル研究と実際炉についての測定とが相まって、 $f(x, y)$ の形についての知識を増し、現在の実際炉におけるトラブルの解消にこの研究が役立つことを望んでいる。また以上述べたこと以外の研究の結果はあくまで数学的考察については講演時に述べる。

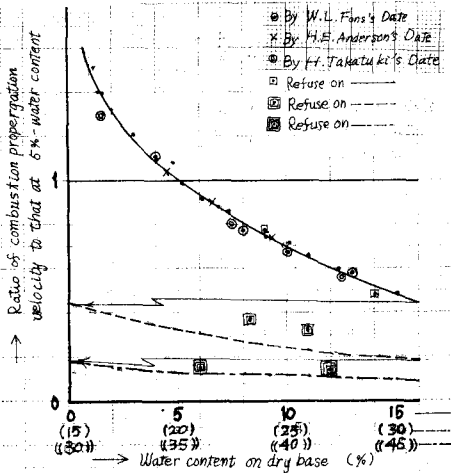


Figure 3. Variation of propagation velocity versus variation of water content

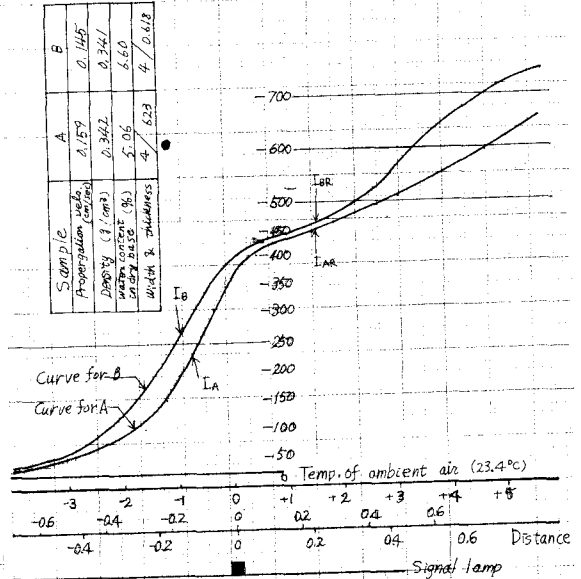


Fig. 4. Temperature history of an inner point of...

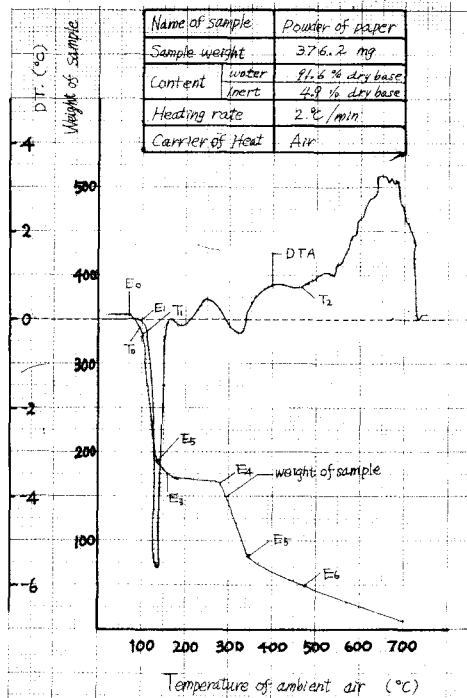


Figure-6 TGA & DTA of wet sample

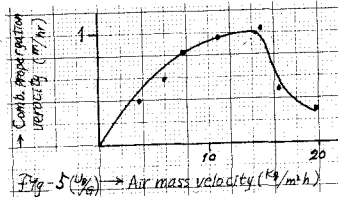


Fig-5 (kg/m²h) → Air mass velocity (kg/m²h)

(参考文献)
1); 岩井・春山
土学会講演概要,
20回II-161

- 2); 岩井・春山等; 土学会講演概要, 22回, II-171
- 3); 春山; 日立造船研究報告書, 技研1186, '66
- 4); 岩井・春山等; 土学会講演概要, 22回, II-172
- 5); 岩井・春山; 京大工研彙報 No.30, pp35, '66
- 6); Kimbara, T. et al; Comb. & Flame 10, No1 pp29, '66
- 7); Fans, W. L. Adgth Symp. on Comb pp 860, '63
- 8); Anderson, H.E et al; 10th Symp. on Comb. pp 1009, '65
- 9); 高月; 京大大学院修士論文, 昭和42年